



## تخمین عددی گذار لایه مرزی بال درون میدان جریان ملخ

حمزه امینائی<sup>۱</sup>، مجتبی دهقان منشادی<sup>۲\*</sup>، علیرضا مستوفیزاده<sup>۲</sup>

۱- دانشجوی دکتری، مهندسی هواپیمایی، دانشگاه صنعتی مالک اشتر، اصفهان

۲- دانشیار، مهندسی مکانیک و هواپیمایی، دانشگاه صنعتی مالک اشتر، اصفهان

\* شاهین شهر، صندوق پستی ۱۵۳/۸۳۱۴۵

### چکیده

در این تحقیق جریان حول مقطع بال NACA2415 در رژیم‌های مختلف و در حضور و عدم حضور ملخ به کمک دینامیک سیالات محاسباتی شبیه‌سازی گردید. برای پیش‌بینی محل گذار لایه مرزی، از دو روش بهره گرفته شد: در روش اول از تاریخچه زمانی نوسانات ضربی پس از اصطکاکی در تخمین محل پیدایش و طول ناحیه گذار استفاده گردید. در روش دوم محل گذار  $Re_\theta = 7$  برای شبیه‌سازی گذار جریان آرام به آشتفته به کار رفت. بهمنظور مقایسه تأثیر پیش‌بینی گذار، شبیه‌سازی با یک مدل آشتفته که جریان را با فرض کاملاً آشتفته مدل سازی می‌کند نیز تکرار و نتایج هر دو تحلیل با داده‌های تجربی مقایسه گردیده‌اند. بررسی نتایج حاکی از دقت مناسب روش عددی در تخمین پارامترهای آبروپلانتیکی، با لحاظ نمودن گذار جریان آرام به آشتفته است. در حالیکه شبیه‌سازی کاملاً آشتفته تا 70٪ خطای محاسبه ضربی پس از مقطع دارد، با تخمین گذار این مقدار حداقل به 10٪ کاهش می‌یابد. با حضور ملخ علاوه بر تغییر در الگوی جریان، مشخصه‌های لایه مرزی در طول دهانه بال تحت تأثیر قرار می‌گیرد. تغییر در توزیع برآ و مکان آغاز گذار لایه مرزی نتیجه قرارگیری بال در جریان لغزشی ملخ است. در نواحی که جریان لغزشی ملخ، مولفه عمودی سرعت بر روی سطح بال را افزایش داده، گذار نزدیکتر به لبه حمله رخ می‌دهد. افزایش دور ملخ باعث تشدید این روبه می‌گردد.

### اطلاعات مقاله

مقاله پژوهشی کامل

دربافت: ۱۳۹۵ اذر

پذیرش: ۱۳۹۵ دی

ارائه در سایت: ۱۹ بهمن ۱۳۹۵

کلید واژگان:

گذار

لایه مرزی آرام

آشتفته

ملخ

## Numerical estimation of the wing boundary layer transition in propeller flowfield

Hamzeh Aminaei, Mojtaba Dehghan Manshadi\*, Ali Reza Mostofizadeh

Department of Mechanical and Aerospace Engineering, Malek Ashtar University of Technology, Isfahan, Iran  
\* P.O.B. 153/83145, Shahinshahr, Iran, mdmanshadi@mut-es.ac.ir

### ARTICLE INFORMATION

Original Research Paper

Received 03 December 2016

Accepted 14 January 2017

Available Online 07 February 2017

**Keywords:**

Transition

Laminar Boundary Layer

Turbulence

Propeller

### ABSTRACT

This work aims to predict laminar/turbulent transition which plays an important role on aerodynamics of wing section. In this respect the flow around the NACA2415 airfoil was simulated in a Computational Fluid Dynamics (CFD) solver in different regimes with and without propeller flowfield. For predicting the transition onset, two approaches were used: The first is based on time history of the skin-friction coefficient for determining the transition onset and the transition length on the airfoil. The second is to apply transition  $\gamma - Re_\theta$  model for laminar/turbulent transition simulation. For investigation of transition effect, the simulation was repeated by use of a classical turbulent model and both results were compared with experimental data. The comparison shows that taking into account the transition effects agrees well with experiment. Relative error of calculated drag coefficients for the transition based simulation is lower than 10%, while fully turbulent simulation is 70% overestimated in some incidences. Slipstream of upstream propeller changes flow pattern and boundary layer characteristics including laminar/turbulent transition onset over the wing. In propeller flowfield, increase of velocity normal component over wing surface causes transition delay. Movement of transition onset to trailing edge on the upper surface in propeller downwash is representative of such phenomenon. On the other hand, in upwash region, the transition onset moves upstream. With the increasing propeller rotational speed, this tendency is enhanced and so the transition onset on the wing upper surface moves far downstream in propeller downwash.

### ۱- مقدمه

گذار<sup>۱</sup> جریان آرام به آشتفته یکی از پدیده‌هایی است که همواره مورد توجه پژوهشگران حوزه مکانیک سیالات و آبودینامیک قرار داشته است. با توجه به تفاوت ماهیت جریان آشتفته، مقادیر تنش برشی و انتقال حرارت بر روی سطح در مقایسه با جریان آرام افزایش چشمگیر دارد. تخمین مناسب گذار برآورده صحیحی از ضربی پس ای اجسام شناور در هوا و نیز موقع جدایش و وامانگی را به همراه خواهد داشت. بدین منظور تلاش‌های زیادی در زمینه شناخت و پیش‌بینی پدیده گذار انجام گرفته است. فعلیت‌های تجربی عمده‌تاً معطوف به هندسه‌های خاص بوده و ارائه روابط تجربی منحصر به آن هندسه

گذار<sup>۱</sup> جریان آرام به آشتفته یکی از پدیده‌هایی است که همواره مورد توجه پژوهشگران حوزه مکانیک سیالات و آبودینامیک قرار داشته است. با توجه به تفاوت ماهیت جریان آشتفته، مقادیر تنش برشی و انتقال حرارت بر روی

<sup>1</sup> Transition

حرارتی قرار گرفته دورن مجرأ توسط السعداوي و بريچر بهمنظور درک عميق تر چنین اغتشاشات جریان مورد بررسی قرار گرفته است. بر اين اساس در اعداد رينولذز پايانين تأثير جریان لغشی بر گذار جریان آرام به آشفته، حباب جدایش و گستردگی آن، ضريب پسای اصطکاکي و ضرائب انتقال حرارت محلی و کلی بررسی شده است [11]. در مقابل، فعالیت‌های عددی در حوزه CFD در اين زمینه صرفاً پارامترهای آيروديناميکي را شامل شده و مشخصه‌های لایه مرزی را در بر نمی‌گيرد [12]. فراتلو و همکاران در کثار آزمایشات تجربی، به مدل‌سازی عددی تداخل بال و ملغ از طریق توسعه يك کد عددی پرداختند. روش محاسباتی برمبنای روش خط برآزا برای مدل‌سازی پرهای و يك تحلیل دنباله آزاد برای جریان لغشی ملغ بوده که با روش پنل برای شبیه‌سازی بال الحاق گردیده است [9].

در کار حاضر از شبیه‌سازی دینامیک سیالات محاسباتی بهمنظور تخمین گذار جریان آرام به آشفته حول مقطع ایرفویل بهره گرفته شد و تأثیر جریان لغشی ملغ بر روی لایه مرزی بال بررسی گردید. بدین منظور از دو روش برای تقریب محل گذار لایه مرزی استفاده شد. روش اول بر مبنای تاریخچه زمانی نوسانات ضريب پسای اصطکاکي در تخمین مکان آغاز و طول ناحیه گذار می‌باشد. در روش دوم از مدل گذار  $Re_0 = 7$  در شبیه‌سازی جریان حول ایرفویل استفاده و نتیجه با نتایج حاصل از يك مدل کاملاً آشفته مقایسه گردید.

## 2- پيش‌بياني گذار 2-1- تغييرات زمانی

سيليستينو و بوتز [14] يك روش عمومی برای تعیین نقطه شروع گذار جریان آرام به آشفته و طول ناحیه گذار با کمک يك حلگر CFD را پیشنهاد داده‌اند. اين روش برای پيش‌بياني گذار از تاریخچه زمانی نوسانات ضريب پسای اصطکاکي بر روی سطوح استفاده می‌نماید. بر اين مبنای جریان بر روی جسم به صورت ناپایا و در حالت آرام بدون استفاده از مدل آشفته‌گذار می‌گردد. در اين شرایط محل شروع گذار با پيدايش بی‌نظمی در تغييرات زمانی  $C_f$  تعیين می‌شود. به عبارت دیگر در ناحیه آرام اين تغييرات هموار بوده و با ورود به ناحیه آشفته تغييرات بسيار ناظم می‌گردد. پس از تعیين نقطه شروع گذار، برای تخمین طول ناحیه گذار و شروع ناحیه آشفته، از انحراف معیار  $\sigma$  ضريب اصطکاک پوستی بر روی ایرفویل مطابق رابطه (1) استفاده گردیده است:

$$C_{f_{RMS}} = \sqrt{\frac{1}{N-1} \sum_{i=1}^N (C_{f_i} - \bar{C}_f)^2} \quad (1)$$

كه در آن  $\bar{C}_f$  متوسط مقدار ضريب اصطکاک پوستی در بازه زمانی اندازه‌گيری شده می‌باشد. براساس اين معیار، شروع ناحیه آشفته در بيشترین مقدار انحراف معیار واقع شده است.

بدین ترتیب اين روش که از هیچ پارامتر لایه مرزی یا رابطه تجربی استفاده نمی‌کند، بهطور مستقیم از داده‌های حل عددی بهره می‌برد. روش مذکور برای پيكربندی‌های دو بعدی در جریان زيرصوت با کمک داده‌های تجربی صحه‌گذاري شد [14]. در اين پژوهش بهمنظور تخمین نقطه گذار، روش بالا به يك پيكربندی سه‌بعدی با حضور جریان لغشی ملغ تعیيم داده شد.

<sup>9</sup> Standard Deviation

را به همراه داشته است. روابط تجربی برای پيش‌بياني پيدايش لایه مرزی به کمک محاسبات لایه مرزی، بهطور گسترده در کاربردهای صنعتی مورد استفاده قرار می‌گيرد [1].

در حوزه عددی نيز فعالیت‌هایی برای دستیابی به روشی در تخمین مکان گذار لایه مرزی صورت گرفته است. رویه سنتی در مدل‌سازی عددی ناحیه گذار، استفاده از يك روش مبتنی بر تكرار از ترکيب روش پنل با کد لایه مرزی می‌باشد؛ البته با توجه به اين که نظریه لایه مرزی تنها برای جریان‌های متصل به سطح معتبر است، اين روش به دسته‌های خاص از جریان‌ها محدود می‌شود [1]. همچنین در دینامیک سیالات محاسباتی مدل‌های آشفته‌گذار جدیدی توسعه و ارائه شده‌اند که برخلاف مدل‌های آشفته‌گذار لایه مرزی را مدل می‌نماید [3,2]. والتر و لیک [4] با استفاده از حل دینامیک سیالات محاسباتی معادلات RANS، توسعه و اجرای مدل جدیدی را برای پيش‌بياني گذار طبیعی و پرش<sup>1</sup> برمبنای اصلاح مدل‌های آشفته‌گذار دو معادله‌ای لزجت-گردابه خطی انجام دادند. فورست و همکاران [5] جریان بر روی صفحه تخت را مورد تحلیل قرار داده و صحت پيش‌بياني گذار لایه مرزی در مقادیر مختلف شدت توربولانس جریان آزاد در برخی از اين مدل‌ها را بررسی نمودند. مalan و همکاران با کمک داده‌های تجربی يك مدل گذار را کالبیره نموده و آترا برای لایه مرزی روی صفحه تخت در حضور و عدم حضور گرادیان فشار مورد استفاده قرار دادند [6]. منشادی و پورفتح [7] نيز گذار جریان حول ایرفویل متقابران تحت اثر سطح با عدد رینولدز پايانين بررسی نمودند. با رشد توان محاسباتی رايانيه‌ها، استفاده از شبیه‌سازی عددی مستقيمه<sup>2</sup> در دینامیک سیالات محاسباتی کاربرد بيشتری پيدا کرده است. اصفهانيان و همکاران با پايه‌ریزی يك کد محاسباتی DNS، سناريوهای گذرش کنترل شده روی صفحه تخت را شبیه‌سازی نمودند [8].

استفاده از ملغ‌هایی با بازده بالا به عنوان پيشران يك پرنده، نياز به درک، تخمین و بهبود آثار تداخل بين جریان لغشی<sup>3</sup> ملغ (يعني جریانی که مستقيماً از آن متأثر می‌گردد) و سایر اجزای وسیله پرنده، به ویژه بال را آشكarter نموده است. يكى از پارامترهای متأثر از جریان لغشی ملغ، لایه مرزی بال و محل گذار لایه مرزی آرام به آشفته می‌باشد. همچنان زاويه فروزوش<sup>4</sup> جریان لغشی، راستای جریان محلی بال را تغيير داده و در نتیجه بر نيريوي برآ و ممان پيچ تأثیر گذار می‌باشد. بررسی تأثیر ملغ بر اين مشخصه‌ها عموماً به صورت تجربی انجام گرفته است. بهطور نمونه فراتلو و همکاران به بررسی تجربی تداخل آيروديناميکي در يك مدل مقیاس شده از يك پيكربندی ملغ/بال/نشیمنگاه موتور<sup>5</sup> پرداختند. در اين راستا مجموعه‌ای از آزمایش‌های نيريوي و ممان بر روی مجموعه انجام گرفته و سهم بارگذاري هر جزء به دست آورده شده است [9]. در رابطه با لایه مرزی ایرفویل نيز كاتالانو به بررسی تجربی تأثیر جریان لغشی ملغ بر مشخصه‌های لایه مرزی بال نظير طول جریان آرام، گذار لایه مرزی از آرام به آشفته، حباب‌های جدایش آرام و اتصال مجدد<sup>6</sup> آن‌ها و جدایش آشفته از طریق آزمایشات تونل ياد برای دوپيكربندی كششی<sup>7</sup> و رانشی<sup>8</sup> بال- ملغ پرداخته است [10]. همچنان تأثیر جریان لغشی يك ملغ کششی بر لایه مرزی بال و مبدل‌های

<sup>1</sup> Bypass

<sup>2</sup> Direct Numerical Simulation

<sup>3</sup> Slipstream

<sup>4</sup> Downwash

<sup>5</sup> Nacelle

<sup>6</sup> Reattachment

<sup>7</sup> Tractor

<sup>8</sup> Pusher

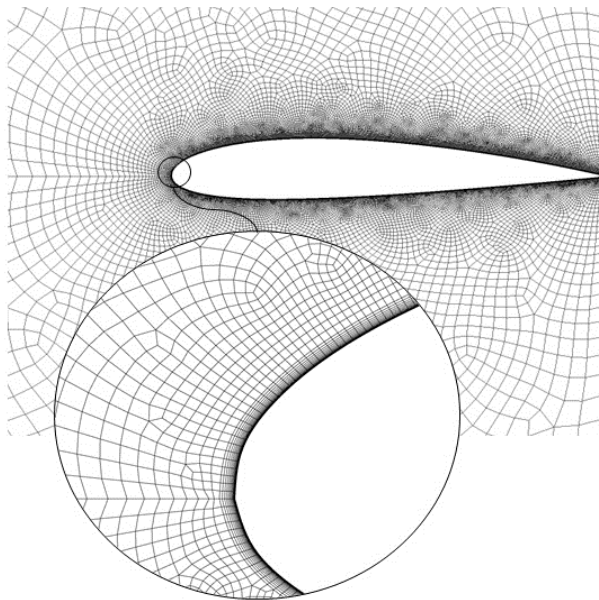


Fig. 1 Computational grid around the airfoil

شکل 1 شبکه‌بندی اطراف ایرفویل

جدول 1 شرایط جریان آزاد ورودی

Table 1 Inlet free stream condition

مقدار	پارامتر
5	T1%
10	$\mu/\mu_t$
44	سرعت جریان آزاد (m/s)

شبیه‌سازی عددی برای عدد رینولدز  $10^6 \times 3$ ، عدد ماخ 0.2 و زوایای حمله -4 الی 8 درجه انجام گرفت. سایر مشخصات جریان آزاد ورودی در جدول 1 آورده شده است. گسسته‌سازی زمانی معادلات جریان براساس الگوریتم مرتبه دوم ضمنی با گام زمانی  $\Delta t = 0.0001$  ثانیه می‌باشد. حداکثر تعداد تکرار در هر گام زمانی برابر 30 در نظر گرفته شد. این تعداد تکرار دقت مورد نظر طی فرایند حل در هر گام را برآورده ساخت. برای کوپل سرعت-فشار از طرح PISO بهره گرفته شد. این طرح برای تحلیل جریان‌های ناپایا از دقت کافی برخوردار می‌باشد [14]. گسسته‌سازی معادله اندازه حرکت نیز به روش طرح بالادستی<sup>۱</sup> مرتبه دوم انجام گرفت.

#### 4- نتایج

##### 4-1- بال بدون حضور ملح

با شبیه‌سازی دینامیک سیالات عددی حول ایرفویل مورد اشاره، پیش‌بینی نقطه پیدایش گذار لایه مرزی و طول این ناحیه انجام و نتایج مورد ارزیابی قرار گرفت. در ابتدا مطابق آن‌چه در بخش 2-1 عنوان شد از نوسانات  $C_\ell$  بر روی سطح بهره گرفته شد. تغییرات زمانی  $C_\ell$  برای شش نقطه روی سطح بالایی ایرفویل موردنظر در شرایط ورودی سیال ذکر شده در بالا و زاویه حمله در "شکل 2" به تصویر کشیده شده است. همان‌گونه که در این شکل دیده می‌شود، پس از  $x/c = 30\%$  بی‌نظمی‌هایی بر روی سطح بالایی ایرفویل پیدیدار می‌شود که گویای شروع گذار در  $x/c < 0.4$  از لبه حمله است. رفتاری مشابه برای ضریب اصطکاک پوستی بر روی سطح زیرین در  $x/c = 80\%$  از لبه حمله ایرفویل اتفاق افتاد. در ادامه برای تخمین

<sup>1</sup> Upwind

#### 2-2- مدل گذار $\gamma - Re_\theta$

مدل گذار  $\gamma - Re_\theta$  که در واقع شکل توسعه یافته مدل آشفتگی  $\omega - SST k$  می‌باشد، توسط منتر و همکاران پیشنهاد گردیده است [15]. این مدل گذار برمنای دو معادله انتقال پایه گذاری شده است؛ یکی برای ضریب تناوب<sup>۲</sup> و دیگری برای معیار شروع گذار بحسب عدد رینولدز ضخامت اندازه حرکت  $(t_e)$ . ضریب تناوب ( $\gamma$ ) از معادله انتقال رابطه (2) تعیین می‌گردد:

$$\frac{\partial(\rho\gamma)}{\partial t} + \frac{\partial(\rho U_j \gamma)}{\partial x_j} = P_{\gamma 1} - E_{\gamma 1} + P_{\gamma 2} - E_{\gamma 2} + \frac{\partial}{\partial x_j} \left[ \left( \mu + \frac{\mu_t}{\sigma_f} \right) \frac{\partial \gamma}{\partial x_j} \right] \quad (2)$$

چشمهدای گذار عبارتند از:

$$P_{\gamma 1} = F_{\text{length}} \rho S [\gamma F_{\text{onset}}]^{C_{a1}} \quad (3)$$

$$E_{\gamma 1} = C_{e1} P_{\gamma 1} \gamma \quad (4)$$

که در آن  $S$  مقدار نرخ کرنش است.  $F_{\text{onset}}$  برای آغاز گذار و  $F_{\text{length}}$  برای طول ناحیه گذار از روابط تجربی بدست می‌آید. همچنین در رابطه (1) جملات تولید و اضمحلال عبارتند از:

$$P_{\gamma 2} = C_{a2} \rho \Omega \gamma F_{\text{turb}} \quad (5)$$

$$E_{\gamma 2} = C_{e2} P_{\gamma 2} \gamma \quad (6)$$

که در آن  $\Omega$  مقدار چرخش<sup>۳</sup> است.

پارامتر  $Re_{\theta t}$  عدد رینولدز بحرانی است که در آن تناوب نخستین بار در لایه مرزی شروع به افزایش می‌نماید. این مقدار که از روابط تجربی بدست می‌آید تابعی از  $Re_{\theta t}$  است. معادله انتقال برای عدد رینولدز گذار برمنای ضخامت اندازه حرکت،  $\tilde{Re}_{\theta t}$ ، مطابق رابطه (7) می‌باشد.

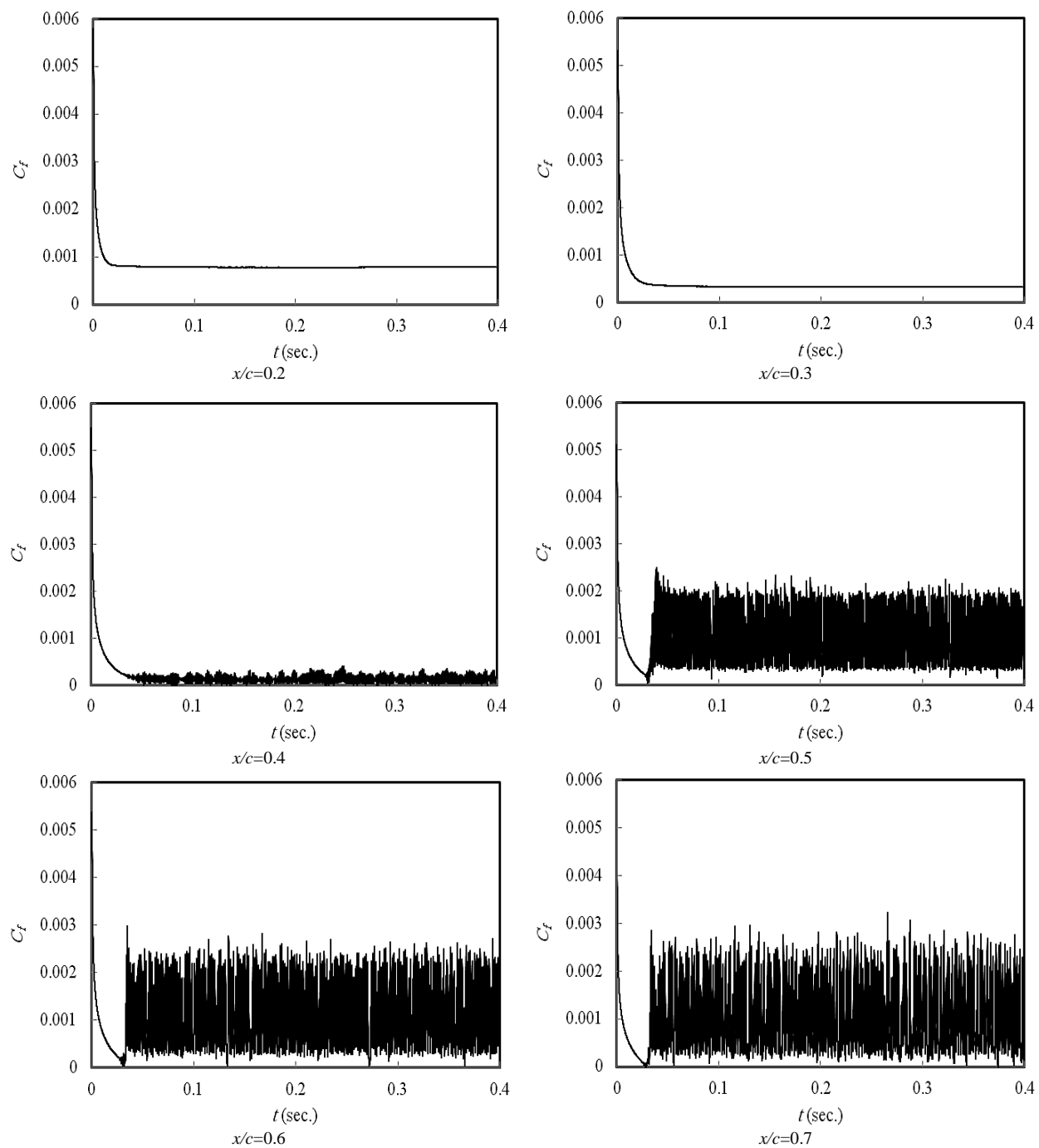
$$\frac{\partial(\rho \tilde{Re}_{\theta t})}{\partial t} + \frac{\partial(\rho U_j \tilde{Re}_{\theta t})}{\partial x_j} = P_{\theta t} + \frac{\partial}{\partial x_j} \left[ \sigma_{\theta t} (\mu + \mu_t) \frac{\partial \tilde{Re}_{\theta t}}{\partial x_j} \right] \quad (7)$$

گذار در شرایط جدایش جریان از یک رابطه جبری ساده برای ضریب تناوب تعیین می‌شود. جزئیات بیشتر در مورد مدل  $\gamma - Re_\theta$  به همراه روابط تجربی مورد نیاز در مرجع [15] ارائه گردیده است. این مدل را می‌توان برای جریان‌های برتری سه‌بعدی پیچیده با کمک شبکه بدون سازمان مورد استفاده قرار داد [5]. متر و همکاران این مدل را مبنای تعریف یک مدل گذار یک معادله‌ای قرار دادند که در آن روابط تجربی با استفاده از متغیرهای محلی با معادلات انتقال جابجایی<sup>۴</sup>- پخش<sup>۵</sup> یکپارچه گردیده‌اند [16].

#### 3- مدل هندسی و شبکه‌بندی

مدل استفاده شده در این تحلیل، مقطع بال NACA2415 می‌باشد که اطلاعات هندسی آن از مرجع [17] استخراج گردیده است. شبکه‌بندی به کار رفته یک شبکه ترکیبی<sup>۶</sup> شامل یک شبکه با سازمان در مجاورت سطوح ایرفویل و بخش بی‌سازمان از المان‌های چهارضلعی در سایر نواحی می‌باشد. برای دامنه محاسباتی مذکور که در "شکل 1" نمایش داده شده است، استقلال حل از شبکه مورد بررسی قرار گرفت. همچنین به‌منظور تحلیل مناسب لایه مرزی ارتفاع سلول‌های شبکه بر روی سطح ایرفویل در راستای عمود بر جریان برابر  $5 \times 10^{-5} \Delta y = \Delta y$  قرار داده شد تا شرط  $y^+ = 1$  اجابت گردد. طول وتر ایرفویل واحد و ابعاد سلول‌ها در راستای جریان برابر  $\Delta x = 0.002$  انتخاب گردید.

<sup>1</sup> Intermittency<sup>2</sup> Vorticity<sup>3</sup> Convection<sup>4</sup> Diffusion<sup>5</sup> Hybrid



شکل ۲ تاریخچه زمانی ضریب اصطکاک پوستی در نقاط مختلف سطح بالای ایرفویل در

$\alpha = 4^\circ$  و  $Re = 3 \times 10^6$

خواهد بود [18]. بنابراین تغییرات ضریب پسای اصطکاکی بر روی سطح ایرفویل می‌تواند نمایشگر تغییر رژیم جریان از آرام به آشفته باشد. بدین منظور تغییرات  $C_f$  بر روی سطوح بالایی و زیرین ایرفویل موردنظر برای زاویه حمله  $4^\circ$  در نمودارهای "شکل ۴" ترسیم گردیده است. این منحنی‌ها طی شبیه‌سازی جریان با استفاده از مدل گذار معرفی شده در بخش ۲ به دست آمده‌اند. برای مقایسه، جریان حول مقطع ایرفویل در شرایط کاملاً آشفته و با استفاده از مدل آشفتگی اسپالارت-آلماراس<sup>۱</sup> نیز حل گردید. این مدل یک مدل آشفتگی تک معادله‌ای ساده است که یک معادله مدل شده انتقال را

طول ناحیه گذار نمودار انحراف معیار  $C_f$  بر روی مقطع ایرفویل مورد استفاده قرار گرفت. این نمودار برای سطح بالای ایرفویل در "شکل ۳" ترسیم گردیده است. ملاحظه می‌گردد که بیشترین مقدار  $C_f_{RMS}$  در  $x/c = 0.4$  واقع شده است که معرف شروع ناحیه آشفته می‌باشد.

از آن جا که یکی از ویژگی‌های لایه مرزی آشفته توان بالای اختلاط در آن می‌باشد، بنابراین گرادیان سرعت بر روی دیواره در جریان آشفته نسبت به جریان آرام شدیدتر می‌باشد. بر این اساس تنش بشی سطح برای لایه مرزی آشفته بسیار بیشتر از لایه مرزی در سطح آرام است. نتیجه این امر تنش اصطکاکی بزرگتر برای جریان آشفته در مقایسه با جریان آرام

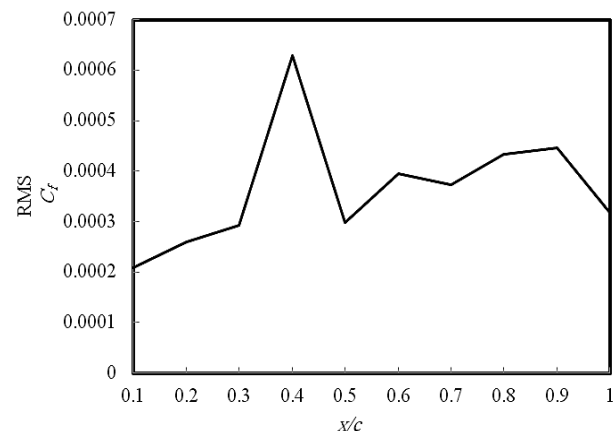
<sup>۱</sup> Spalart- Allmaras

ملاحظه می شود که مکان گذار برای سطح بالایی در 35 درصدی وتر و برای سطح پایینی در 80 درصدی آن است. این مکان با تخمین صورت گرفته در "شکل 2" مطابقت دارد.

در نتیجه اختلاط آشفتگی، سرعت در جریان های آرام به طور موثرتری هموار می گرددند و پروفیل سرعت متوسط در جریان آشفته در مقایسه با پروفیل سرعت در جریان آرام یکنواخت تر می باشد. بررسی پروفیل های سرعت برای ایروفیل مورد تحلیل که در "شکل 5" به تصویر کشیده شده گویای توانایی مدل در شبیه سازی جریان و پیش بینی گذار لایه مرزی آرام به آشفته می باشد.

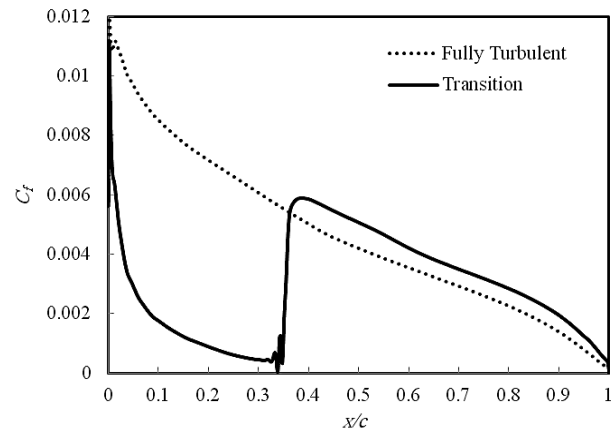
از آنجا که پروفیل سرعت و در نتیجه تنش برشی بر روی سطح به رژیم جریان وابسته است بنابراین ضرائب آیرودینامیکی مقطع از این پدیده تأثیر می پذیرد. بدین منظور مقادیر ضرائب آیرودینامیکی حاصل از شبیه سازی های انجام گرفته در کار حاضر با داده های تجربی مقایسه گردیده است. ضریب برآی مقطع NACA2415 در زوایای حمله 4° الی 8 درجه در "شکل 6-a" ترسیم شده است. تغییرات ضریب پسا با زاویه حمله نیز در "شکل 6-b" مشاهده می گردد. مقادیر تجربی در "شکل 6" داده های جمع آوری شده توسط ابوت و وان دنهوف می باشد که از آزمایشات انجام گرفته بر روی مقاطع بال توسط سازمان ناسا اقتباس گردیده است. داده های بکار رفته مربوط به همان عدد رینولدز  $Re = 3 \times 10^6$  می باشد [17].

همان گونه که در منحنی های "شکل 6" ملاحظه می شود تأثیر گذار بر ضریب برآ چندان حائز اهمیت نبوده و نتایج شبیه سازی کاملاً آشفته تقریباً مشابه نتایج تخمین گذار است. این امر ناشی از سهم انداک تنش برشی سطح در مولفه عمودی نیروهای آیرودینامیکی می باشد [20]. (در واقع مولفه تنش برشی در راستای عمود بر وتر برابر  $\tau_{\text{sin}\theta}$  است که در آن  $\theta$  زاویه سطح ایروفیل بوده و با نازک تر شدن مقطع مقدار آن کوچک تر می گردد). اما در

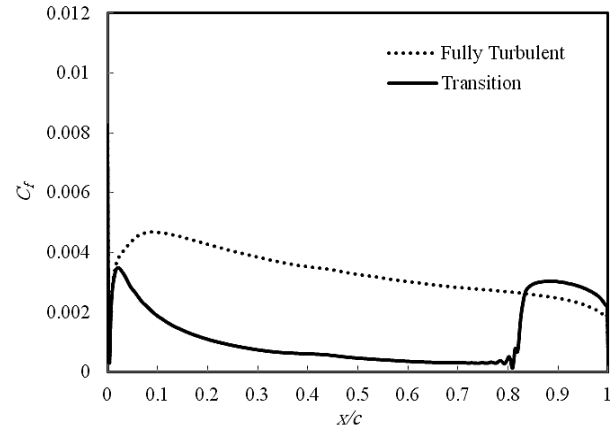


شکل 3 مکان تخمینی شروع ناحیه آشفتگی برای مقطع NACA2415 در  $Re = 3 \times 10^6$  و  $\alpha = 4^\circ$

شکل 3 مکان تخمینی شروع ناحیه آشفتگی برای مقطع NACA2415 در  $Re = 3 \times 10^6$  و  $\alpha = 4^\circ$



(a)

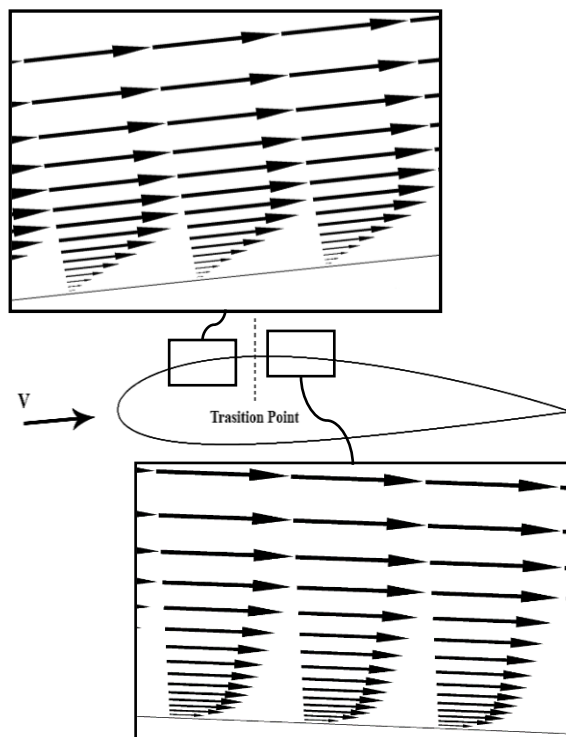


(b)

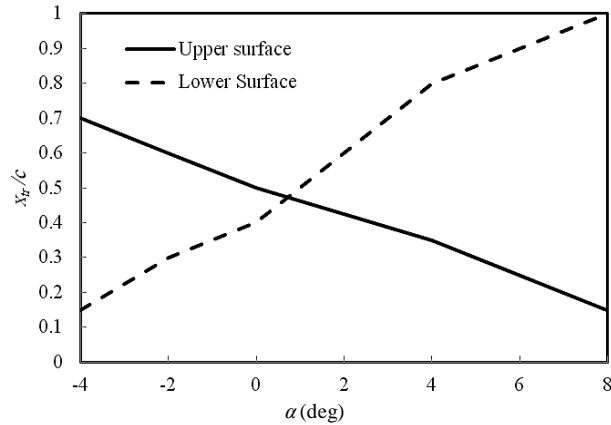
شکل 4 تغییرات ضریب اصطکاک پوستی در  $Re = 3 \times 10^6$  و  $\alpha = 4^\circ$   
a)  $\alpha = 4^\circ$  b) سطح زیرین

شکل 4 تغییرات ضریب اصطکاک پوستی در  $Re = 3 \times 10^6$  و  $\alpha = 4^\circ$   
a)  $\alpha = 4^\circ$  b) سطح زیرین

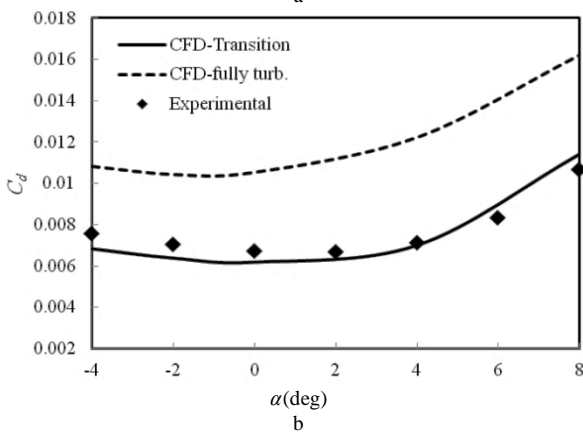
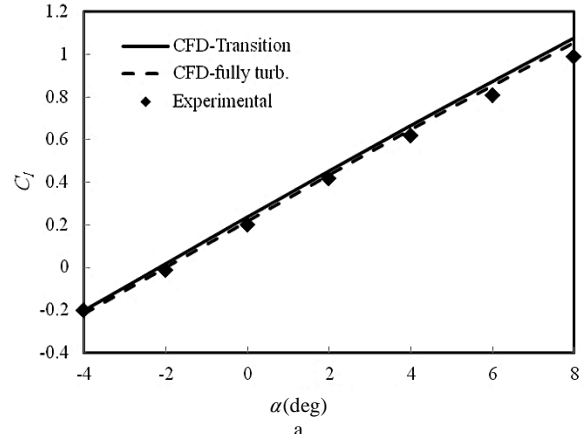
برای ویسکوزیته آشفتگی حل می کند. مدل اسپالارت - آلماراس نتایج خوبی برای لایه های مرزی که در معرض شیب فشار معکوس قرار دارند، ارائه داده است [19]. همان گونه که در "شکل 4" دیده می شود، مدل  $Re_θ$  و قوی گذار لایه مرزی روی سطوح ایروفیل را پیش بینی می کند. بر این اساس



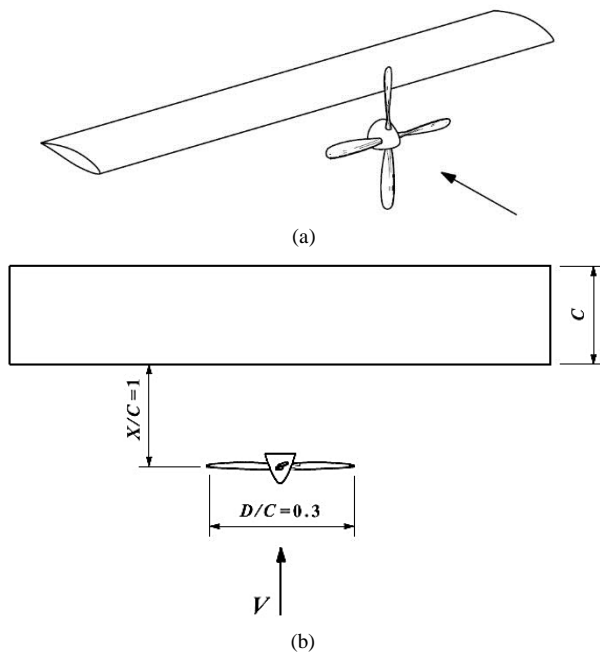
شکل 5 پروفیل سرعت درون لایه مرزی آرام و آشفته،  $\alpha = 4^\circ$



شکل 7 مکان تخمینی شروع گذار برای مقطع NACA2415 در  $Re = 3 \times 10^6$



شکل 6 تغییرات ضرائب آبرودينامیکی مقطع NACA2415 بر حسب زاویه حمله در a)  $Re = 3 \times 10^6$  (b) ضریب پسا



شکل 8 شماتیک از مدل بال-ملخ مورد تحلیل a) نمای ایزومتریک b) نمای بالا

شکل 8 شماتیک از مدل بال-ملخ مورد تحلیل a) نمای ایزومتریک b) نمای بالا

الگوریتم‌های حل عددی در این شرایط مشابه روش‌های ذکر شده در بخش 3 بوده و گام زمانی نیز همان 0.0001 ثانیه در نظر گرفته شد. سرعت دورانی در نظر گرفته شده برای بررسی اثر ملخ برابر 100 RPM می‌باشد.

با حضور ملخ و جریان لغزشی ناشی از آن شاهد شکل‌گیری الگوی سه‌بعدی جریان بوده و بنابراین مشخصه‌های جریان در طول دهانه بال نیز تغییر خواهد کرد. این مسئله با نمایش خطوط جریان و کانتور ضریب فشار بر روی سطح بال قرار گرفته در پایین دست ملخ در "شکل 9" به تصویر کشیده شده است. غیریکتواختی توزیع فشار با دقت در "شکل 9" مشهود می‌باشد به گونه‌ای که در پخشی از سطح بالایی بال که فرازش ناشی از ملخ وجود دارد فشار کاهش و در مقابل در ناحیه فروزوش فشار افزایش یافته است. این تغییر در توزیع فشار منجر به تغییر در توزیع بارگذاری بال در طول دهانه آن گردیده است. همان‌گونه که ملاحظه می‌گردد در پخشی از بال که ترسیم گردیده است. همان‌گونه که ملاحظه می‌گردد در پخشی از بال که متأثر از جریان لغزشی ملخ می‌باشد ضریب برای مقطع دستخوش تغییر گردیده است. این امر ناشی از دو عامل تغییر در زاویه حمله محلی جریان و

موردن در ضریب پسا نتایج به کلی متفاوت است؛ به نحوی که شبیه‌سازی کاملاً آشفته میزان پسا را تا 70% بیشتر از مقدار گذار تجربی تخمین می‌زنند. این در حالی است که نتایج شبیه‌سازی گذار نزدیک به داده‌های تجربی است. این مسئله ناشی از این حقیقت می‌باشد که در حالت دوم، جریان آرام بخش قابل ملاحظه‌ای از سطح را در بر می‌گیرد. به طور نمونه در زاویه حمله 4 درجه در حدود 80% از سطح پایینی ایرفویل جریان آرام حاکم است و فرض  $C_L$  آشفته منجره بروز اختلاف با شرایط واقعی می‌گردد. مکان پیدایش گذار لایه مرزی بر حسب زاویه حمله برای مقطع NACA2415 که در "شکل 7" ترسیم شده است نمایشگر تغییرات هموارتر این پارامتر برای سطح بالایی در مقایسه با سطح پایینی است.

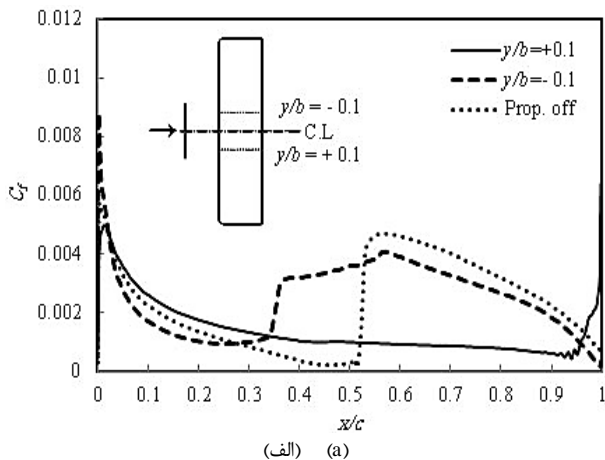
**4-2- بال درون جریان لغزشی ملخ**  
با هدف بررسی تأثیر جریان لغزشی ملخ بر بال قرار گرفته در پایین دست، از یک مدل سه بعدی بال-ملخ مطابق "شکل 8" استفاده گردید. بدین منظور یک ملخ منفرد (یعنی ملخ بدون حضور بدنی یا اتصال به بال) که با فاصله‌ای برابر طول وتر از بال قرار داشته و قطر نسبی آن  $D/C = 0.3$  است در نظر گرفته شد. ملخ نشان داده شده در "شکل 8" یک ملخ هارتزل چهار پرهای با زاویه گام 12° در  $D_{0.75}$  می‌باشد. شبکه‌بندی مجاور ایرفویل در این حالت نیز همان شبکه نمایش داده شده در "شکل 1" و با همان ابعاد می‌باشد. لیکن در محدوده ملخ از شبکه بدون سازمان با المان‌های چهار وجهی با حداکثر طول 0.01 استفاده گردید.

پیش افتادگی و در ناحیه فراوزش تأخیر وقوع گذار لایه مرزی رخ می دهد (شکل 11-b). به طور کلی افزایش مولفه عمود بر سطح ناشی از جریان لغزشی ملح بر روی هر سطح منجر به تأخیر گذار آرام به آشفته شده است و بالعکس.

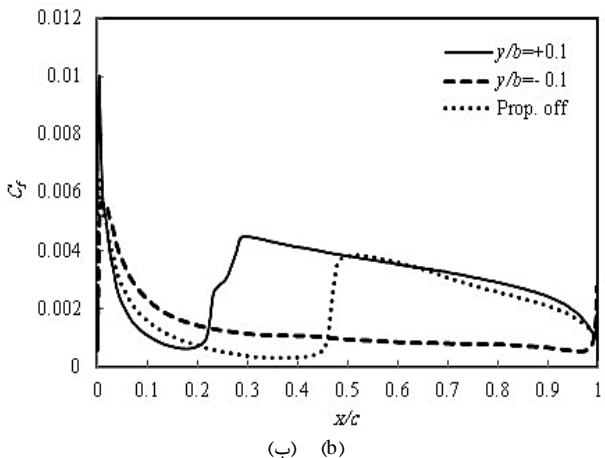
افزایش مولفه چرخشی جریان که معادل با افزایش دور ملح است موجب تشدید این روند می گردد. این تأثیر در منحنی های "شکل 12" برای مکان عرضی  $y/b = -0.1$  از سطح بالایی ایرفویل ترسیم گردیده است. ملاحظه می گردد افزایش سرعت دورانی ملح علاوه بر کوتاه شدن ناحیه آرام و پیش افتادگی گذار، موجب افزایش قابل ملاحظه ضربی اصطکاک پوستی حتی در ناحیه آشفته می گردد.

### 5- نتیجه گیری

در کار حاضر از دو روش برای تقریب محل گذار لایه مرزی و بررسی تأثیر جریان ملح بر روی آن استفاده شد. در روش اول از تاریخچه زمانی نوسانات ضربی پسای اصطکاکی در تخمین مکان پیدایش و طول ناحیه گذار استفاده گردید. روش دوم که بر مبنای مدل گذار  $\gamma - Re_\theta$  می باشد، ضرائب آیریدینامیکی یک ایرفویل را در یک حلگر دینامیک سیالات محاسباتی تخمین می زند. مقایسه نتایج این تحلیل با داده های تجربی در شرایط مشابه حاکی از دقت مناسب تخمین پارامترهای آیریدینامیکی در مقایسه با روش های

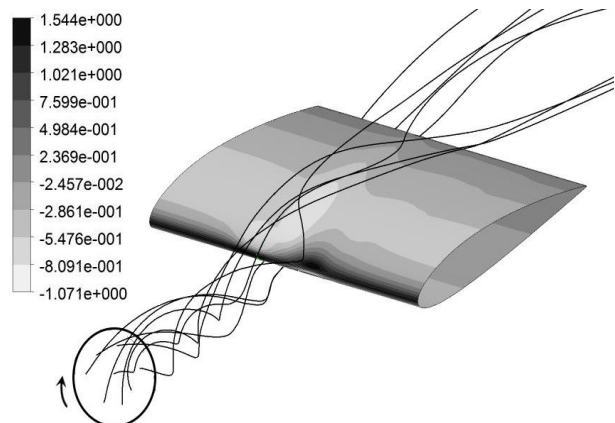


(الف)

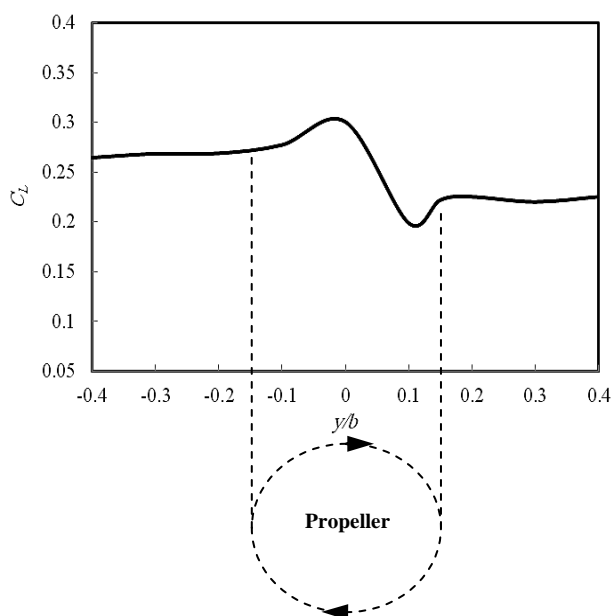


(ب)

شکل 11 اثر ملح بر تغییرات ضربی اصطکاک پوستی بر روی سطح در  $\alpha = 0^\circ$  a) سطح بالایی b) سطح زیرین



شکل 9 خطوط جریان و کانتور ضربی فشار بر روی سطح در شرایط حضور ملح



شکل 10 توزیع ضربی برآ در طول دهانه بال در حضور ملح ( $Re = 3 \times 10^6$ ,  $\alpha = 0^\circ$ )

شکل 10 توزیع ضربی برآ در طول دهانه بال در حضور ملح ( $Re = 3 \times 10^6$  و  $\alpha = 0^\circ$ )

افزایش فشار دینامیکی جریان پشت ملح می باشد. در ناحیه فراوزش، افزایش زاویه حمله به دلیل وجود جریان چرخشی با افزایش فشار دینامیکی جریان تقویت گردیده و افزایش میزان برآ را به همراه دارد. اما در ناحیه فروزوش دو عامل فوق خلاف یکدیگر عمل نموده که نتیجه آن اختلاف کمتر ضربی برآ با شرایط بدون پروانه می باشد.

تغییرات ضربی پسای اصطکاکی در مکان های عرضی  $y/b = \pm 0.1$  برای سطوح بالایی و زیرین ایرفویل در زاویه حمله  $\alpha = 0^\circ$  در "شکل 11" نمایش داده شده اند. به منظور مقایسه، منحنی  $C_f$  در شرایط بدون ملح نیز ترسیم گردیده است. همان طور که ملاحظه می گردد فروزوش ملح بر روی سطح بالایی ( $y/b = +0.1$ ) منجر به تأخیر گذار تا نزدیکی لبه فرار ( $x/c = 0.95$ ) شده است. در مقابل در ناحیه فراوزش بر روی سطح بالایی ( $y/b = -0.1$ )، پیش افتادگی گذار به سمت لبه حمله مشاهده گردید. این امر برای سطح پایینی به شکل معکوس اتفاق افتاده است، به نحوی که در ناحیه فروزوش

$x_j$	مختصه مکانی (m)
$y$	مکان عرضی (m)
	علایم یونانی
$\alpha$	زاویه حمله (degree)
$\mu$	لزجت دینامیکی ( $\text{kgm}^{-1}\text{s}^{-1}$ )
$\rho$	چگالی ( $\text{kgm}^{-3}$ )
$\gamma$	ضریب تناوب
$\Omega, \omega$	چرخش ( $\text{rads}^{-1}$ )
	بالاتنویس‌ها
-	مقدار میانگین
	زیرنویس‌ها
onset	آغاز گذار
length	طول ناحیه گذار
$\theta$	ضخامت اندازه حرکت
turb.	آشفته

## 7- مراجع

- [1] H. Schlichting, K. Gersten, *Boundary Layer Theory*, 8th Edition, pp. 415-425, New York, Springer, 2000.
- [2] F. R. Menter, R. Langtry, S. Volker, Transition Modelling for General Purpose CFD Codes, *Flow, Turbulence and Combustion*, Vol. 77, No. 1, pp. 277-303, 2006.
- [3] D. D. Pasquale, A. Ronay, S. J. Garretts, A selective review of CFD transition models, *39th AIAA Fluid Dynamics Conference*, San Antonio, Texas, June 2009.
- [4] D. K. Walters, J. H. Leyklek, A New Model for Boundary-Layer Transition Using a Single-Point RANS Approach, *Journal of Turbomachinery*, Vol. 126, No. 1, pp. 193-202, 2004.
- [5] J. Fürst, P. Straka, J. Příhoda, D. Šimurda, Comparison of several models of the laminar/turbulent transition, *7th International Experimental Fluid Mechanics Conference*, Hradec Králové, Czech Republic, 20th – 23rd November 2012.
- [6] P. Malan, K. Suluksna, and E. Juntasaro, Calibrating the  $\gamma$ -Re<sub>θ</sub> transition model for commercial CFD, *47th AIAA Aerospace Sciences Meeting Including The New Horizons Forum and Aerospace Exposition*, Orlando, Florida, January 2009.
- [7] M. Dehghan Manshadi, F. Pourfattah, Numerical study about role of ground effect on flow transition from laminar to turbulent regime at low reynolds numbers, *Modares Mechanical Engineering*, Vol. 14, No. 9, pp. 203-210, 2014. (in Persian) (فارسی)
- [8] V. Esfahanian, A. A. Dehghan, M. Khoshab, H. Chizari, Direct Numerical Simulation of Controlled Transition Scenarios on a Flat plate, *Modares Mechanical Engineering*, Vol. 15, No. 3, pp. 353-364, 2015. (in Persian)
- [9] G. Fratello, D. Favier, C. Maresca, Experimental and numerical study of the propeller/fixed wing interaction, *Journal of Aircraft*, Vol. 28, No. 6, pp. 365-373, 1991.
- [10] F. M. Catalano, On the effects of an installed propeller slipstream on wing aerodynamic characteristics, *Acta Polytechnica*, Vol. 44 No. 3, pp. 8-14, 2004.
- [11] E. A. Elsaadawy, C. P. Britcher, Experimental investigation of the effect of propeller slipstream on boundary layer behavior at low reynolds number, *18th Applied Aerodynamics Conference*, Denver, CO, U.S.A, pp. 267-276, 2000.
- [12] E. W. M. Roosendoom, A. Stürmer, A. Schröder, Comparison of PIV Measurements with Unsteady RANS Calculations in a Propeller Slipstream, *27th AIAA Applied Aerodynamics Conference*, San Antonio, Texas, June 2009.
- [13] W. Fu, J. Li, H. Wang, Numerical simulation of propeller slipstream effect on a propeller-driven unmanned aerial vehicle, *International Conference on Advances in Computational Modeling and Simulation*, Published by Elsevier Ltd., pp. 150-155, 2012.
- [14] P. D. Silisteam, R. M. Botez, Transition-flow-occurrence estimation: A new method, *Journal of Aircraft*, Vol. 47, No. 2, pp. 703-707, 2010.

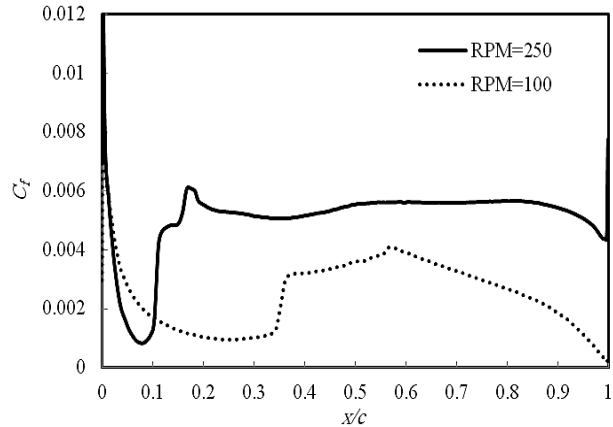


Fig. 12 Effect of propeller rotational speed on transition location over upper surface at  $y/b = -0.1$

شکل 12 تأثیر سرعت دورانی ملح بر محل گذار بر روی سطح بالایی در  $y/b = -0.1$

کلاسیک حل معادلات RANS می‌باشد که جریان را با فرض کاملاً آشفته مدل‌سازی می‌کند. در حالی که شبیه‌سازی کاملاً آشفته تا 70% خطای زاویه حمله چهار درجه در محاسبه ضریب پسای مقطع دارد، با تخمین گذار این مقدار حداقل به 10% (در زاویه حمله 2-2 درجه) کاهش می‌یابد. استفاده از ملح به عنوان پیشران، تداخل بین جریان لغزشی و سایر اجزای وسیله پرنده به ویژه بال را به همراه دارد. حضور ملح در بالادست بال طول دهانه بال می‌شود. عدم تقارن توزیع فشار و در نتیجه مشخصه‌های لایه مرزی در توزیع برآ در طول دهانه بال بارزترین اثر جریان لغزشی می‌باشد. تغییر مکان آغاز گذار لایه مرزی نیز نتیجه دیگر قرار گیری بال در پایین دست ملح است. این جابجایی می‌تواند بسته به موقعیت مقطع در طول دهانه متفاوت باشد. در مقایسه با شرایط بدون ملح، در نواحی که جریان لغزشی ملح منجر به افزایش مولفه عمودی سرعت بر روی سطح بال می‌گردد، گذار آرام به آشفته به تأخیر می‌افتد. به طور نمونه در ناحیه فروزنوش بر روی سطح بالایی بال شاهد تأخیر در شروع گذار بوده و متقابلاً در ناحیه فرازنش جریان، گذار نزدیکتر به لبه حمله رخ می‌دهد. افزایش دور و در نتیجه افزایش مولفه چرخشی جریان لغزشی ملح باعث تشدید این روند در هر دو ناحیه می‌گردد.

## 6- فهرست عالیم

طول دهانه بال (m)	$b$
طول وتر ابرفویل (m)	$C$
ضریب پسای اصطکاکی	$C_f$
ضریب پسا	$C_d$
ضریب برآ	$C_l$
قطر ملح (m)	$D$
اضمحلال آشفته‌گی	$E$
تولید آشفته‌گی	$P$
عدد رینولدز	$Re$
نرخ کرنش ( $\text{s}^{-1}$ )	$S$
زمان (s)	$t$
دما (K)	$T$
شدت توربولانس	$TI$
سرعت ( $\text{ms}^{-1}$ )	$u_j, V$

- 410-481, New York, Dover Publications, Inc., 1959.
- [18]F. White, *Viscous Fluid Flow*, third edition, pp. 398-440, New York, McGraw Hill, 2006.
- [19]P. R. Spalart, S. R. Allmaras, A one-equation turbulence model for aerodynamic flows, *30th Aerospace Sciences Meeting and Exhibit*, Reno, NV, U.S.A, 1992.
- [20]J. D. Anderson, *Fundamentals of Aerodynamics*, pp. 15-22, New York, McGraw Hill, 2001.
- [15]F. R. Menter, R. B. Langtry, S. R. Likki, Y. B. Suzen, P. G. Huang, S. Völker, A correlation-based transition model using local variables-part I: Model formulation, *Journal of Turbomachinery*, Vol. 128, No. 3, pp. 413-422, 2006.
- [16]F. R. Menter, P. E. Smirnov, T. Liu, R. Avancha, A one-equation local correlation-based transition model, *Flow, Turbulence and Combustion*, Vol. 95, No. 4, pp. 583-619, December 2015.
- [17]I. H. Abbott , A. E. Von Doenhoff, *Theory of Wing Sections*, pp.